УДК 539.67:669.15

## СООТНОШЕНИЕ МАГНИТОМЕХАНИЧЕСКОГО ЗАТУХАНИЯ И ДЕФЕКТА МОДУЛЯ УПРУГОСТИ В СПЛАВАХ ЖЕЛЕЗА С СИЛЬНЫМ ЗАТУХАНИЕМ

© 2008 г. А. И. Скворцов

Вятский государственный университет, Киров Поступила в редакцию: 5.11.07

В демпфирующих сплавах железа с магнитомеханической природой внутреннего трения наилучшее соответствие максимума логарифмического декремента на его амплитудной зависимости имеет место с релаксированным по сравнению с нерелаксированным и среднегеометрическим дефектами модуля упругости. Сравниваются температурные зависимости максимума логарифмического декремента на его амплитудной зависимости и динамического модуля упругости.

#### **ВВЕДЕНИЕ**

Существуют различные приоритеты при использовании таких характеристик релаксации, как нерелаксированного релаксированного, среднегеометрического дефектов модуля упругости:  $\Delta_{\rm H} = (M_{\rm H} - M_{\rm p})/M_{\rm p}, \ \Delta_{\rm cr} = (M_{\rm H} - M_{\rm p})/M_{\rm cr}$ . Представляет интерес установить для сплавов с различным значением магнитомеханического затухания, какая из указанных характеристик релксации лучше коррелирует с таким параметром амплитудной зависимости внутреннего трения, как максимум магнитомеханического затухания  $\delta_{\rm m}$ .

Известно, что для демпфирующих сплавов на основе Fe между магнитомеханическим затуханием и динамическим модулем упругости на их амлитудной зависимости существует обратная связь [1—3]. Представляет интерес выявить изменение магнитомеханического затухания и динамического модуля упругости в зависимости от температуры испытаний. Таких работ для сплавов на основе Fe с сильным магнитомеханическим затуханием (Fe — Cr — V, Fe — Co — Si) автору не известны.

# МЕТОДИКА И МАТЕРИАЛ ИССЛЕДОВАНИЯ

Исследовали Fe и его сплавы с Cr, Co, Al, Mo, Si, V с ферритной структурой. Различный уровень магнитомеханического затухания и дефекта модуля упругости наряду с варьированием состава сплава достигали 1) отжигом при различных температурах в интервале 600—1150 °C, 2) измерением без магнитного поля и в переменном магнитном поле частотой 50 Гц и напряженностью 6 А/см.

Амплитудную зависимость логарифмического декремента  $\delta$  и частоты колебаний f определяли методом крутильных колебаний на образцах с размерами рабочей части: диаметром 5 и длиной 30 мм. Дефект динамического модуля упругости определяли как функцию частот колебаний:  $\Delta_{\rm H} = (f_0^2 - f_{\rm min}^{\ \ 2})/f_0^2$ ,  $\Delta_{\rm p} = (f_0^2 - f_{\rm min}^{\ \ 2})/f_{\rm min}^{\ \ 2}$ ,  $\Delta_{\rm cr} = (f_0^2 - f_{\rm min}^{\ \ 2})/f_{\rm min}$ , Определение частот  $f_0$  и  $f_{\rm min}$  показано на рис. 1,  $\sigma$ . При температурных испытаниях средняя скорость нагрева составляла 150 К/ч. Доменную структуру выявляли методом порошковых фигур.

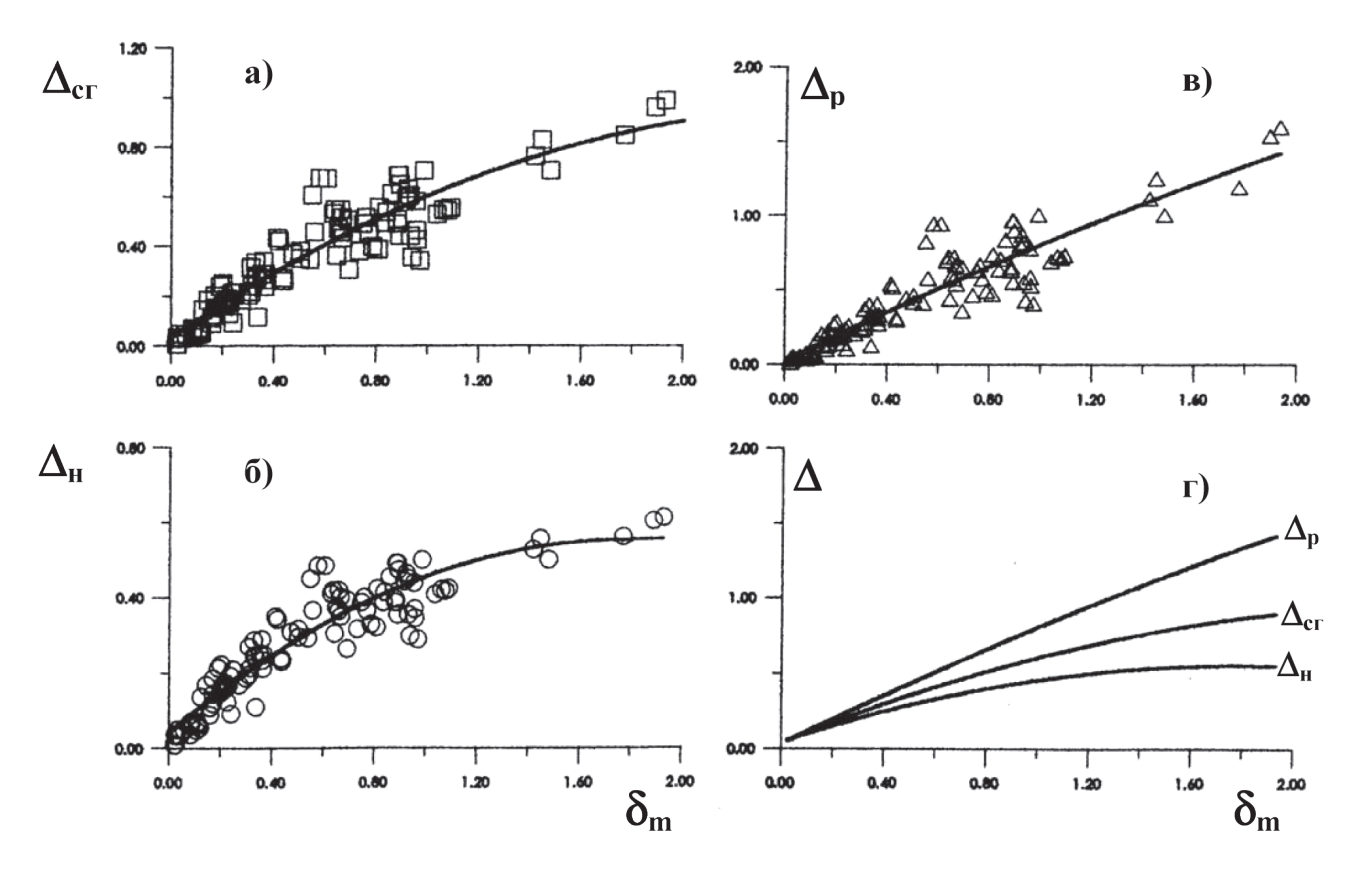
#### РЕЗУЛЬТАТЫ И ИХ ОБСУЖДЕНИЕ

На рис. 1 представлена амплитудная зависимость логарифмического декремента и квадрата частоты колебаний для сплава Fe с сильным магнитомеханическим затуханием, характерная для исследованных сплавов.

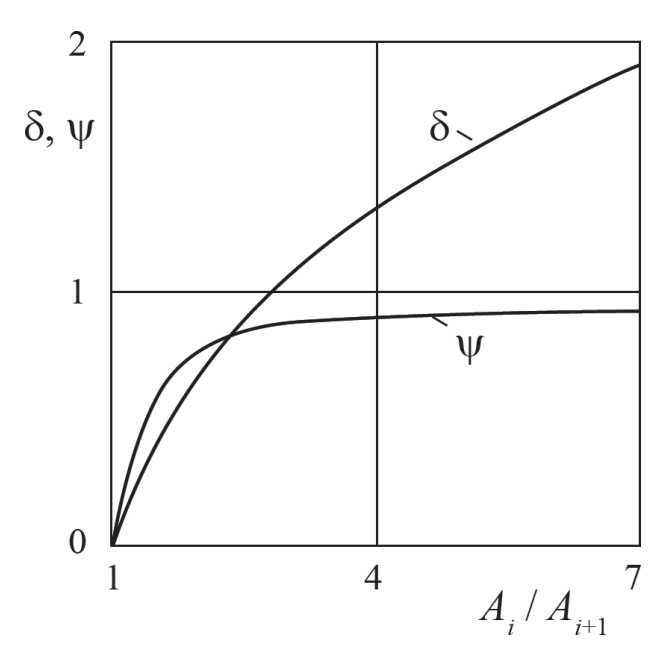
На рис. 2, a,  $\delta$ ,  $\epsilon$  представлены результаты соответствия максимума логарифмического декремента на его амплитудной зависимости и различных видов дефекта модуля упругости в большом интервале их значений, а на рис. 2,  $\epsilon$  — обобщающий график. Видно, что наилучшее соответствие характеристика  $\delta_m$  имеет с  $\Delta_p$ . Это соответствие представлено квадратичным уравнением (1):

$$\Delta_p = -0.0614\delta_m^2 + 0.839\delta_m + 0.0276 \tag{1}$$

Рассмотренную ситуацию полезно сравнить с зависимостью логарифмического декремента и удельной демпфирующей способности  $\psi$  от отношения соседних амплитуд колебаний  $A_i/A_{i+l}$ . При



**Рис. 1.** Зависимость логарифмического декремента (a) и квадрата частоты колебаний ( $\delta$ ) от амплитуды крутильных колебаний для сплава Fe — 8% Cr — V при измерении без магнитного поля (1, 3) и в постоянном магнитном поле насыщения — напряженностью 30 кА/м (2, 4).



**Рис. 2.** Соотношение между среднегеометрическим (a), нерелаксированным ( $\delta$ ), релаксированным ( $\delta$ ) дефектами динамического модуля упругости и максимумом логарифмического декремента на его амплитудной зависимости  $\delta_m$  и обобщающий график ( $\varepsilon$ ).

этом характеристики внутреннего трения определены уравнениями (2) и (3):

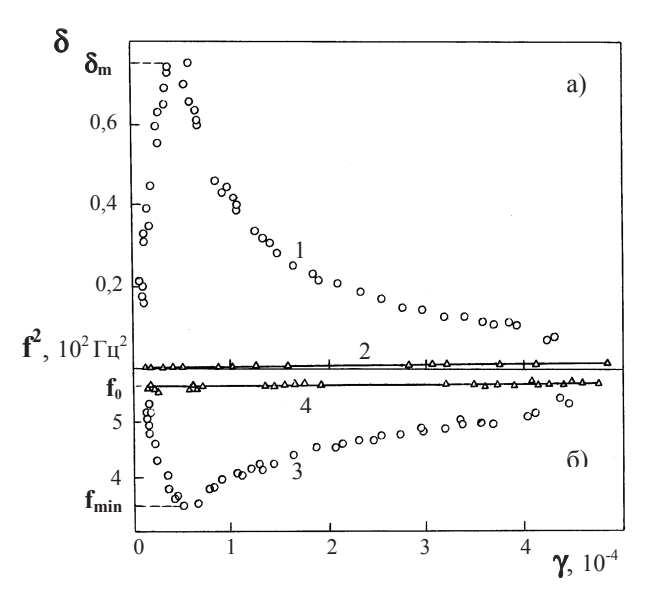
$$\delta = \ln(A_i / A_{i+1}) \tag{2}$$

$$\Psi = (A_i^2 - A_{i+1}^2)/A_i^2 = I - (A_{i+1}/A_i)^2$$
 (3)

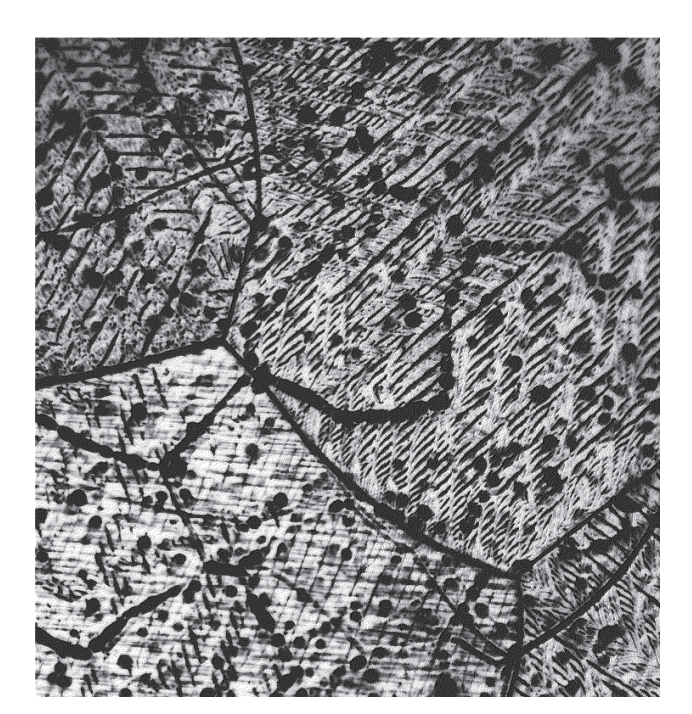
Из рис. З видно, что логарифмический декремент более адекватно отражает темп снижения амплитуды колебаний по сравнению с характеристикой  $\psi$ , особенно, при больших значениях величины  $A_i/A_{i+l}$ . Поэтому для высокодемпфирующих сплавов использование характеристики  $\delta$  более предпочтительно по сравнению с характеристикой  $\psi$ .

Типичная доменно-зеренная структура после высокотемпературного отжига рассматриваемых сплавов Fe представлена на рис. 4.

На рис. 5 дана температурная зависимость характеристик  $\delta_m$  и  $f_{min}^{-2}$  в интервале температур, меньших точки Кюри. Видно, что если характеристика  $\delta_m$  с повышением температуры может увеличиваться (все сплавы), уменьшаться (сплав на основе Fe — Cr — Al), то характеристика динамического модуля упругости  $f_{min}^{-2}$  с повышением температуры



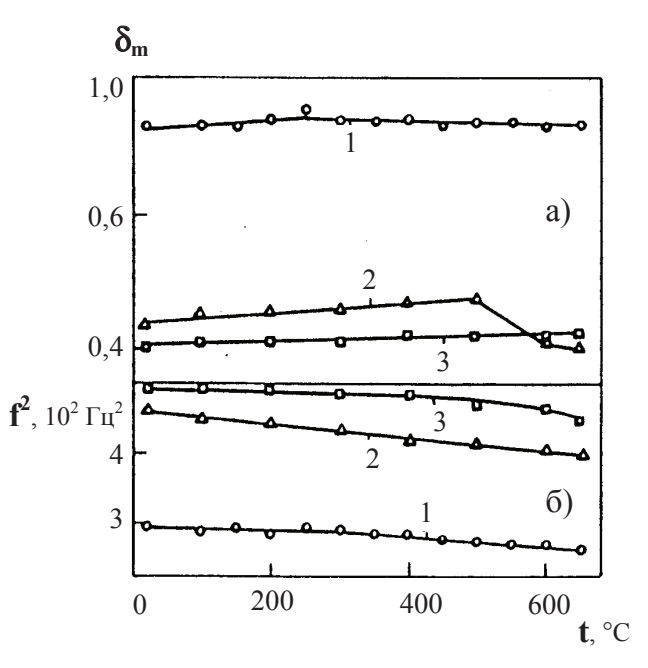
**Рис. 3.** Зависимость логарифмического декремента  $\delta$  и удельной демпфирующей способности  $\psi$  от отношения соседних амплитуд колебаний  $A_i/A_{i+1}$ .



**Рис. 4.** Доменно-зеренная структура сплава Fe — 7% Cr — V после отжига 1150 °C.  $\times$  63.

монотонно уменьшаться для всех типов представленных высокодемпфирующих сплавов.

Следует отметить, что анализ причин температурного хода указанных и подобных им характеристик с точки зрения структуры практически не проводился. Изменение этих характеристик в зависимости от температуры сопоставлялось, в ос-



**Рис. 5.** Зависимость максимума логарифмического декремента (a) и минимума квадрата частоты колебаний ( $\delta$ ) на их амплитудной зависимости от температуры испытаний для отожженных сплавов на основе: Fe — 10% Cr — V (I), Fe — 6% Cr — Al (2), Fe — 6% Co — Si (3), — при измерении без магнитного поля.

новном, с изменением характеристик других физических свойств, например, с константой анизотропии, характеристиками магнитострикции [4]. Поэтому несомненно, что перспективным для выявления природы температурной зависимости характеристик магнитомеханического затухания является изучение эволюции доменной структуры. Об этом свидетельствуют данные, например, работ [5, 6] о связи магнитомеханического затухания с перестройкой доменной структуры.

#### выводы

- 1. Между характеристикой  $\delta_m$  и различными видами дефектов динамического модуля упругости для сплавов Fe в большом диапазоне величин затухания ( $\delta_m$  = 0,02—2) имеется пропорциональная зависимость. Наилучшее соответствие имеет место между характеристиками  $\delta_m$  и  $\Delta_n$ .
- 2. Соотношение зависимостей характеристик  $\delta_m$  и  $f_{min}^2$  от температуры испытаний отличается от соотношения их зависимостей от амплитуды механических колебаний. В зависимости от температуры испытаний эти характеристики могут меняться как пропорционально, так и обратнопропорционально. Представляется перспективным изучение

### СООТНОШЕНИЕ МАГНИТОМЕХАНИЧЕСКОГО ЗАТУХАНИЯ И ДЕФЕКТА МОДУЛЯ УПРУГОСТИ...

эволюции доменной структуры для выявления природы температурной зависимости характеристик магнитомеханического затухания.

#### СПИСОК ЛИТЕРАТУРЫ

- 1. *Калинин Ю. Е.* Автореф. дис. док. физ.-мат. наук. Воронеж: ВПИ, 1991.
- 2. *Головин И. С., Варвус И. А.* // Металловедение и термическая обработка металлов. 1994. № 1. С. 26.
- 3. *Скворцов А. И.* Автореферат дис. док. техн. наук. Екатеринбург: УГТУ, 1995.
- 4. *Кекало И. Б.* // Металловедение и термическая обработка. Т. 7: Итоги науки и техники. М.: ВИНИТИ, 1973. С. 5.
- 5. *Скворцов А. И.* // Известия АН. Сер. физ. 1993. Т. 57. № 11. С. 159.
- 6. *Скворцов А. И.* // Физика металлов и металловедение. 1993. Т. 75. № 6. С. 118.